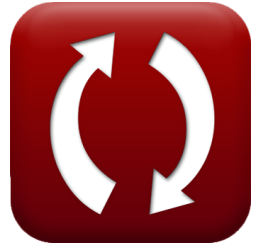


calculatoratoz.comunitsconverters.com

Обтекание аэродинамических профилей и крыльев Формулы

[Калькуляторы!](#)[Примеры!](#)[Преобразования!](#)

Закладка calculatoratoz.com, unitsconverters.com

Самый широкий охват калькуляторов и рост - **30 000+ калькуляторов!**

Расчет с разными единицами измерения для каждой переменной -

Встроенное преобразование единиц измерения!

Самая широкая коллекция измерений и единиц измерения - **250+ измерений!**



Не стесняйтесь ПОДЕЛИТЬСЯ этим документом с друзьями!

[Пожалуйста, оставьте свой отзыв здесь...](#)



Список 26 Обтекание аэродинамических профилей и крыльев Формулы

Обтекание аэродинамических профилей и крыльев ↗

Обтекание аэродинамических профилей ↗

1) Коэффициент момента относительно передней кромки симметричного профиля согласно теории тонкого профиля ↗

$$fx \quad C_{m,le} = -\frac{C_L}{4}$$

[Открыть калькулятор ↗](#)

$$ex \quad -0.3 = -\frac{1.2}{4}$$

2) Коэффициент подъемной силы для изогнутого профиля ↗

$$fx \quad C_{L,cam} = 2 \cdot \pi \cdot ((\alpha) - (\alpha_0))$$

[Открыть калькулятор ↗](#)

$$ex \quad 1.41903 = 2 \cdot \pi \cdot ((10.94^\circ) - (-2^\circ))$$

3) Коэффициент подъемной силы для симметричного профиля по теории тонкого профиля ↗

$$fx \quad C_L = 2 \cdot \pi \cdot \alpha$$

[Открыть калькулятор ↗](#)

$$ex \quad 1.199705 = 2 \cdot \pi \cdot 10.94^\circ$$



4) Коэффициент сопротивления поверхности трения для плоской пластины в турбулентном потоке ↗

fx $C_f = \frac{0.074}{Re_T^{\frac{1}{5}}}$

[Открыть калькулятор ↗](#)

ex $0.014468 = \frac{0.074}{(3500)^{\frac{1}{5}}}$

5) Коэффициент сопротивления трения кожи для плоской пластины в ламинарном потоке ↗

fx $C_f = \frac{1.328}{\sqrt{Re_L}}$

[Открыть калькулятор ↗](#)

ex $0.031301 = \frac{1.328}{\sqrt{1800}}$

6) Расположение центра давления для изогнутого профиля крыла ↗

fx $x_{cp} = -\frac{C_{m,le} \cdot c}{C_L}$

[Открыть калькулятор ↗](#)

ex $0.75m = -\frac{-0.3 \cdot 3m}{1.2}$



7) Толщина пограничного слоя для ламинарного потока ↗

fx $\delta_L = 5 \cdot \frac{x}{\sqrt{Re_L}}$

[Открыть калькулятор ↗](#)

ex $0.247487m = 5 \cdot \frac{2.10m}{\sqrt{1800}}$

8) Толщина пограничного слоя для турбулентного потока ↗

fx $\delta_T = 0.37 \cdot \frac{x}{Re_T^{\frac{1}{5}}}$

[Открыть калькулятор ↗](#)

ex $0.151917m = 0.37 \cdot \frac{2.10m}{(3500)^{\frac{1}{5}}}$

Поток над крыльями ↗

9) 2D Кривая подъемной силы Наклон аэродинамического профиля при заданном наклоне подъемной силы конечного крыла ↗

fx $a_0 = \frac{a_{C,l}}{1 - \frac{a_{C,l} \cdot (1+\tau)}{\pi \cdot AR}}$

[Открыть калькулятор ↗](#)

ex $6.324406\text{rad}^{-1} = \frac{5.54\text{rad}^{-1}}{1 - \frac{5.54\text{rad}^{-1} \cdot (1+0.055)}{\pi \cdot 15}}$



10) 2D Кривая подъемной силы Наклон аэродинамического профиля при заданном наклоне подъемной силы эллиптического конечного крыла ↗

fx $a_0 = \frac{a_{C,1}}{1 - \frac{a_{C,1}}{\pi \cdot AR}}$

[Открыть калькулятор ↗](#)

ex $6.278065 \text{ rad}^{-1} = \frac{5.54 \text{ rad}^{-1}}{1 - \frac{5.54 \text{ rad}^{-1}}{\pi \cdot 15}}$

11) Геометрический угол атаки с учетом эффективного угла атаки ↗

fx $\alpha_g = \alpha_{\text{eff}} + \alpha_i$

[Открыть калькулятор ↗](#)

ex $12^\circ = 8^\circ + 4^\circ$

12) Индуцированный угол атаки с учетом эффективного угла атаки ↗

fx $\alpha_i = \alpha_g - \alpha_{\text{eff}}$

[Открыть калькулятор ↗](#)

ex $4^\circ = 12^\circ - 8^\circ$

13) Наклон кривой подъемной силы для эллиптического конечного крыла ↗

fx $a_{C,1} = \frac{a_0}{1 + \frac{a_0}{\pi \cdot AR}}$

[Открыть калькулятор ↗](#)

ex $5.541507 \text{ rad}^{-1} = \frac{6.28 \text{ rad}^{-1}}{1 + \frac{6.28 \text{ rad}^{-1}}{\pi \cdot 15}}$



14) Наклон подъемной кривой для конечного крыла**fx**

$$a_{C,1} = \frac{a_0}{1 + \frac{a_0 \cdot (1+\tau)}{\pi \cdot AR}}$$

Открыть калькулятор**ex**

$$5.505897 \text{ rad}^{-1} = \frac{6.28 \text{ rad}^{-1}}{1 + \frac{6.28 \text{ rad}^{-1} \cdot (1+0.055)}{\pi \cdot 15}}$$

15) Соотношение сторон с учетом коэффициента эффективности пролета**fx**

$$AR = \frac{C_L^2}{\pi \cdot e_{span} \cdot C_{D,i}}$$

Открыть калькулятор**ex**

$$15.03087 = \frac{(1.2)^2}{\pi \cdot 0.95 \cdot 0.0321}$$

16) Удлинение крыла при заданной кривой подъемной силы Наклон эллиптического конечного крыла**fx**

$$AR = \frac{a_0}{\pi \cdot \left(\frac{a_0}{a_{C,1}} - 1 \right)}$$

Открыть калькулятор**ex**

$$14.96538 = \frac{6.28 \text{ rad}^{-1}}{\pi \cdot \left(\frac{6.28 \text{ rad}^{-1}}{5.54 \text{ rad}^{-1}} - 1 \right)}$$



17) Удлинение крыла с заданной кривой подъемной силы Наклон конечного крыла ↗

fx

$$AR = \frac{a_0 \cdot (1 + \tau)}{\pi \cdot \left(\frac{a_0}{a_{C,l}} - 1 \right)}$$

[Открыть калькулятор ↗](#)

ex

$$15.78848 = \frac{6.28\text{rad}^{-1} \cdot (1 + 0.055)}{\pi \cdot \left(\frac{6.28\text{rad}^{-1}}{5.54\text{rad}^{-1}} - 1 \right)}$$

18) Фактор эффективности Освальда ↗

fx

$$e_{osw} = 1.78 \cdot \left(1 - 0.045 \cdot AR^{0.68} \right) - 0.64$$

[Открыть калькулятор ↗](#)

ex

$$0.634903 = 1.78 \cdot \left(1 - 0.045 \cdot (15)^{0.68} \right) - 0.64$$

19) Эффективный угол атаки конечного крыла ↗

fx

$$\alpha_{eff} = \alpha_g - \alpha_i$$

[Открыть калькулятор ↗](#)

ex

$$8^\circ = 12^\circ - 4^\circ$$



Индукционное сопротивление ↗

20) Коэффициент вынужденного сопротивления с учетом общего коэффициента сопротивления ↗

fx $C_{D,i} = C_D - c_d$

[Открыть калькулятор ↗](#)

ex $0.0321 = 0.0771 - 0.045$

21) Коэффициент индуцированного сопротивления ↗

fx $C_{D,i} = \frac{D_i}{q_\infty \cdot S}$

[Открыть калькулятор ↗](#)

ex $0.039376 = \frac{101N}{450Pa \cdot 5.7m^2}$

22) Коэффициент сопротивления профиля ↗

fx $c_d = \frac{F_{skin} + D_p}{q_\infty \cdot S}$

[Открыть калькулятор ↗](#)

ex $0.045224 = \frac{100N + 16N}{450Pa \cdot 5.7m^2}$

23) Коэффициент сопротивления профиля с учетом общего коэффициента сопротивления ↗

fx $c_d = C_D - C_{D,i}$

[Открыть калькулятор ↗](#)

ex $0.045 = 0.0771 - 0.0321$



24) Общий коэффициент лобового сопротивления для дозвукового конечного крыла

fx $C_D = c_d + C_{D,i}$

[Открыть калькулятор](#)

ex $0.0771 = 0.045 + 0.0321$

25) Скорость, создаваемая в точке бесконечной прямой вихревой нитью

fx $v_i = \frac{\gamma}{2 \cdot \pi \cdot h}$

[Открыть калькулятор](#)

ex $3.9038 \text{ m/s} = \frac{13 \text{ m}^2/\text{s}}{2 \cdot \pi \cdot 0.53 \text{ m}}$

26) Скорость, создаваемая в точке полубесконечной прямой вихревой нитью

fx $v_i = \frac{\gamma}{4 \cdot \pi \cdot h}$

[Открыть калькулятор](#)

ex $1.9519 \text{ m/s} = \frac{13 \text{ m}^2/\text{s}}{4 \cdot \pi \cdot 0.53 \text{ m}}$



Используемые переменные

- a_0 Наклон кривой подъема 2D (1 / радиан)
- $a_{C,l}$ Наклон кривой подъема (1 / радиан)
- AR Удлинение крыла
- C Аккорд (метр)
- C_d Коэффициент сопротивления профиля
- C_D Общий коэффициент сопротивления
- $C_{D,i}$ Коэффициент индуцированного сопротивления
- C_f Коэффициент сопротивления трению кожи
- C_L Коэффициент подъема
- $C_{L,cam}$ Коэффициент подъемной силы для изогнутого профиля
- $C_{m,le}$ Коэффициент момента относительно переднего края
- D_i Индуцированное сопротивление (Ньютон)
- D_p Сила сопротивления давления (Ньютон)
- e_{osw} Фактор эффективности Освальда
- e_{span} Коэффициент эффективности диапазона
- F_{skin} Сила сопротивления трения кожи (Ньютон)
- h Перпендикулярное расстояние до вихря (метр)
- q_∞ Динамическое давление свободного потока (паскаль)
- Re_L Число Рейнольдса для ламинарного потока
- Re_T Число Рейнольдса для турбулентного потока
- S Справочная область (Квадратный метр)



- v_i Индуцированная скорость (метр в секунду)
- x Расстояние по оси X (метр)
- x_{cp} Центр давления (метр)
- α Угол атаки (степень)
- α_0 Угол нулевого подъема (степень)
- α_{eff} Эффективный угол атаки (степень)
- α_g Геометрический угол атаки (степень)
- α_i Индуцированный угол атаки (степень)
- γ Сила вихря (Квадратный метр в секунду)
- δ_L Толщина ламинарного пограничного слоя (метр)
- δ_T Толщина турбулентного пограничного слоя (метр)
- τ Коэффициент наклона вынужденной подъемной силы



Константы, функции, используемые измерения

- **постоянная:** pi, 3.14159265358979323846264338327950288
постоянная Архимеда
- **Функция:** sqrt, sqrt(Number)
Функция извлечения квадратного корня — это функция, которая принимает на вход неотрицательное число и возвращает квадратный корень из заданного входного числа.
- **Измерение:** Длина in метр (m)
Длина Преобразование единиц измерения 
- **Измерение:** Область in Квадратный метр (m^2)
Область Преобразование единиц измерения 
- **Измерение:** Давление in паскаль (Pa)
Давление Преобразование единиц измерения 
- **Измерение:** Скорость in метр в секунду (m/s)
Скорость Преобразование единиц измерения 
- **Измерение:** Сила in Ньютон (N)
Сила Преобразование единиц измерения 
- **Измерение:** Угол in степень ($^\circ$)
Угол Преобразование единиц измерения 
- **Измерение:** Обратный угол in 1 / радиан (rad^{-1})
Обратный угол Преобразование единиц измерения 
- **Измерение:** Потенциал скорости in Квадратный метр в секунду (m^2/s)
Потенциал скорости Преобразование единиц измерения 



Проверьте другие списки формул

- Распределение потока и подъемной силы Формулы  [Формулы](#) 
- Обтекание аэродинамических профилей и крыльев [Формулы](#) 

Не стесняйтесь ПОДЕЛИТЬСЯ этим документом с друзьями!

PDF Доступен в

[English](#) [Spanish](#) [French](#) [German](#) [Russian](#) [Italian](#) [Portuguese](#) [Polish](#) [Dutch](#)

4/9/2024 | 9:51:55 AM UTC

[Пожалуйста, оставьте свой отзыв здесь...](#)

